

بررسی اثرات ذرات دی سیلیساید مولیبden (MoSi₂) بر رفتار مکانیکی و الکتریکی ماده مرگب زمینه مس تولید شده به روش اتصال نورده تجمعی (ARB)

امیرحسین اسلامی^{*}، محمد محسن مشکسار^۲ و سید مجتبی زبرجد^۳

چکیده

روش تغییر شکل پلاستیک شدید (SPD) به عنوان یکی از روش‌های تولید مواد با اندازه دانه نانومتری مطرح می‌باشد. برای ایجاد یک ساختار با دانه‌های نسبتاً ریز لازم است از راه اعمال کرنش‌های پلاستیک زیاد دانسیته بالایی از نابهنجایی‌ها بدست آید. فرآیند نورد تجمعی ARB به عنوان یکی از پرکاربردترین روش‌های اعمال تغییر شکل پلاستیک شدید و دستیابی به ساختارهای نانومتری بویژه در ورق‌ها و در بعد صنعتی مطرح می‌باشد. در این پژوهش از فرآیند نورد اتصالی تجمعی برای تولید کامپوزیت MoSi₂/Cu استفاده شده است. برای این منظور، از مس خالص تجاری و نانو ذرات MoSi₂ استفاده شده است. تعداد پنج مرحله نورد در شرایط بدون روانکار همراه با پیش گرمایش ۳۰۰°C پیش از هر مرحله نورد بر نمونه‌ها اعمال شده است. نمونه‌های استاندارد از درون قطعات نورد شده تهیه و ریزساختار آن‌ها توسط میکروسکوپ الکترونی و خواص مکانیکی آن‌ها به وسیله آزمون‌های سختی و کشش مورد ارزیابی قرار گرفت. همچنین نقش همزمان ذرات تقویت کننده دی سیلیساید مولیبden و نورد بر مقاومت الکتریکی کامپوزیت لایه ای به وسیله روش پربال نقطه مورد بررسی قرار گرفت.

واژه‌های کلیدی: فرآیند نورد تجمعی، خواص مکانیکی و مقاومت الکتریکی، ساختار لایه ای.

۱- دانشجوی کارشناسی ارشد مهندسی مکانیک دانشگاه آزاد اسلامی شیراز.

۲- استاد مهندسی مکانیک دانشگاه آزاد واحد مرودشت.

۳- استاد دانشکده مهندسی مواد دانشگاه شیراز.

*- نویسنده مسئول مقاله: Amir.hossein.E@hotmail.com

پیشگفتار

پیشرفت‌های اخیر در صنایع نظامی، برق و الکترونیک، اتموبیل سازی، قطارهای برقی، ابزارهای مغناطیسی و در صنایع پزشکی مستلزم استفاده از مواد با رسانایی بالا، خواص فیزیکی و مکانیکی خوب و هزینه مناسب می‌باشد. به همین منظور پژوهش‌های زیادی درباره مواد مرکب و بویژه آلیاژهای مس صورت گرفته است.

ریز شدن اندازه دانه یکی از روش‌های مهم استحکام بخشی مواد است که نسبت به سایر روش‌های استحکام بخشی از اهمیتی ویژه برخوردار است. با این روش می‌توان همزمان به ترکیب مناسبی از استحکام و چکش خواری دست یافت [۱]. در حالیکه در روش‌های دیگر، افزایش استحکام با کاهش چکش خواری همراه می‌باشد. یکی از روش‌هایی که ریز شدن اندازه دانه را به همراه دارد تغییر شکل بسیار زیاد و یا شدید^۱ (SPD) می‌باشد. در حقیقت این روش بر پایه ایجاد کرنش‌های پلاستیک بسیار زیاد در ماده استوار و به روش‌های تغییر شکل بسیار زیاد معروف می‌باشند. تغییر شکل های شدید پلاستیک ناشی از انواع فرآیندهای مکانیکی می‌تواند سبب ایجاد ساختار نانو و در مواردی تغییر ترکیب شیمیایی گردد [۲-۴]. یکی از روش‌های موفق SPD، اتصال از راه نورد تجمعی اتصالی ARB^۲ می‌باشد. فرایند اتصال نورد تجمعی ARB یکی از فرآیندهای تغییر شکل شدید پلاستیک می‌باشد که به وسیله تسوجی وسیتو در سال ۱۹۹۸ برای ساخت مواد حجیم ابداع شد [۵]. در این فرایند تغییر شکل پلاستیک زیادی از راه چند مرحله نورد متوالی انجام می‌گیرد.

مزیت این روش توانایی در تولید ورق با ساختار نانو در مقیاس صنعتی می‌باشد به همین دلیل از این روش بتازگی در تولید کامپوزیت‌های چند لایه استفاده شده است [۶]. این روش در واقع نوعی از فرایند ایجاد تغییر شکل پلاستیک در ماده می‌باشد که به کمک آن‌ها می‌توان بدون تغییر قابل ملاحظه در ابعاد قطعه، کرنش‌های پلاستیک بسیار زیادی در ماده ایجاد نمود. در سال‌های اخیر کامپوزیت‌های فلزی چند لایه به علت

روش پژوهش

مواد اولیه

مواد مورد استفاده در این پژوهش ورق‌های مس خالص تجاری و پودر MoSi_2 با اندازه ذره ۵۰ نانومتر می‌باشد که ترکیب، ابعاد و ویژگی‌های ورق مس استفاده شده در جداول ۱ و ۲ مشخص شده است. پودر MoSi_2 از راه آسیاب کردن المنت‌های ضایعاتی کوره‌های الکتریکی به مدت زمان ۳۶ ساعت تهیه گردید. از پودر تولید شده آنالیز XRD جهت تعیین فاز و اندازه کریستال‌ها گرفته شد. تصاویر XRD بیانگر این است که اندازه کریستال‌های MoSi_2 پس از ۳۶ ساعت آسیاب با نسبت گلوله به پودر ۱:۲۰ و با سرعت (جنس گلوله‌ها از فولاد هایی با قابلیت عملیات حرارتی و سختی بالا همچون MO40 ۳۰۰rpm) به اندازه ذره ۵۰ نانومتر باشد

^۱ - Sever plastic deformation

^۲ - Accumulated Roll Bonding

Zwick 250 استحکام کششی با استفاده از دستگاه 250 صورت گرفت. در پایان مقاومت الکتریکی نمونه های تولید شده با روش پرورب چهار نقطه اندازه گیری شد.

نتایج و بحث

تغییر ساختار لایه ای کامپوزیت Cu/MoSi₂ حین فرایند ARB

شکل ۴ تصویر میکروسکوپی کامپوزیت Cu/MoSi₂ با درصدهای گوناگون حجمی ۱ و ۱/۵ درصد (MoSi₂) تهیه شده تا ۵ سیکل را نشان می دهد. همراه با افزودن ذرات تقویت کننده بین ورق ها کاهش سطح مقطع گوناگون مورد بررسی قرار گرفت. با توجه به شکل ۴ که تصویر میکروسکوپ الکترونی مقطع کناری ورق ها را نشان می دهد این نتیجه استنباط می شود که در مرحله افزودن پودر MoSi₂ درصد کاهش سطح مقطع بیش از ۶۰ درصد و پس از آن حین فرایند ARB ۵۰ درصد کاهش سطح مقطع، سبب ایجاد جوش سرد مناسب و ماده ای یکپارچه ای شده است. ورق ها تا سیکل پنجم بدون عیب فرایند ARB را پشت سر گذاشتند، اما افزایش چگالی نابه جایی و کاهش اندازه دانه سبب افزایش کرنش ماده و در نتیجه تردی گردید که این امر سبب پارگی ورق ها پس از سیکل پنجم ARB شد. در مورد اثر وجود پودر تقویت کننده بین ورق ها بر چگونگی جوش سرد اختلاف نظر وجود دارد. لیو و همکارانش در پژوهش های خود اشاره کرده اند که حضور ذرات بین ورق ها کیفیت جوش را بهبود می دهد زیرا ذرات با ایجاد تمرکز تنش حین نورد ترک های سطحی را افزایش می دهند [۷].

همچنین، گزارش شده است که حضور ذرات با کاهش سطح تماس فلز - فلز اثر منفی بر کیفیت و استحکام جوش دارد [۸]. با این حال، در این آزمایش با ایجاد کاهش سطح مقطع بالاتر از ۶۰ درصد در مرحله نخست که پودر تقویت کننده بین لایه های مس وجود دارد و ARB کاهش سطح مقطع ۵۰ درصدی در مراحل بعدی جوش سرد مناسب و ماده ای یکپارچه بدست آمد. مشاهدات صورت گرفته در این پژوهش حاکی از آن بود که حضور ذرات تقویت کننده بین ورق ها با کاهش سطح

رسیده است. در شکل ۱ نانو ذرات MoSi₂ نشان داده شده است.

تولید کامپوزیت لایه ای Cu/MoSi₂

برای انجام فرآیند در ابتداء ورق های مس در ابعاد مشخص برشکاری شدند. از دو نوار مسی به ضخامت ۱ میلی متر و ابعاد ۵×۱۲ سانتی متر برای شروع فرآیند استفاده شد. جهت ساخت کامپوزیت ابتداء ورق ها با استنون شسته و چربی زدایی گردید سپس برای ایجاد پیوند با استحکام بیشتر از سمباده سیمی دوار که قابلیت بسته شدن بر روی دستگاه دریل را دارد با اندازه قطر سیم ۴/۴ میلیمتر استفاده شد. روند انجام فرایند ARB برای کامپوزیت Cu/MoSi₂ در شکل ۳ نشان داده شده است. استفاده از سمباده سیمی بالاترین زیری سطح را ایجاد کرده و سبب ایجاد قویترین اتصال لایه ای بین ورق ها می شود. در این پژوهش بمنظور مقایسه و برآورده تأثیر افزودن ذرات MoSi₂ دو نوع کامپوزیت با درصد های حجمی ۱ و ۱/۵ درصد دی سیلیساید مولبیدن ساخته شد. پس از آماده سازی سطوح بین دو ورق مس با ابعاد یکسان یک لایه پودر MoSi₂ (۰/۱٪ و ۰/۱۵٪ حجمی) با الک به گونه ای یکنواخت پراکنده شد. سپس دو انتهای مجموعه ورق ها با سیم مسی بسته شدند تا حین نورد روی هم نلغزند. پس از بیش گرمایش (۳۰۰°C به مدت ۱۰ دقیقه) ورق ها با یک کاهش بیش از ۶۰ درصد سطح مقطع نورد شدند. نمونه پس از پاس صفرم از وسط نصف و پس از آماده سازی دوباره و مهار چهار گوشه آن و اعمال پیش گرمایش دوباره تحت نورد با ۵۰ درصد کاهش ضخامت قرار گرفت و این فرآیند تا ۵ مرحله ادامه پیدا کرد. تمام فرآیندهای نورد بدون استفاده از روانکار با سرعت ۴۰ دور بر دقیقه و قطر غلطک ۱۸۰ میلیمتر انجام شد.

پس از تولید کامپوزیت مورد نظر نمونه هایی از هر مرحله فرآیند ARB جهت انجام آزمایش ها تهیه گردید. روش جوش خوردن ورق ها، چگونگی توزیع ذرات MoSi₂ در زمینه مس و ریز ساختار با استفاده از میکروسکوپ الکترونی (SEM) مورد مطالعه قرار گرفت و در نهایت، برای مطالعه خواص مکانیکی بیشینه (استحکام کششی، مقدار افزایش طول و منحنی های تنش و کرنش) آزمون

آگلومره های ذرات پودر زیاد است که این باعث افت شدید شکل پذیری و کاهش داکتیلیتیه ماده می شود.

استحکام کششی کامپوزیت های Cu/MoSi_2 تولید شده به روش ARB

بمنظور بررسی استحکام کامپوزیت های مس تقویت شده با ذرات دی سیلیساید مولیبden با درصد های حجمی ۱ و ۱/۵ درصد طی مراحل گوناگون فرآیند از آزمون کشش تک محوری استفاده گردید. نتایج بدست آمده از منحنی تنش-کرنش در سیکل های گوناگون فرآیند ARB در شکل ۵ نشان داده شده است. بر اساس شکل ۶ استحکام کششی کامپوزیت Cu/MoSi_2 با افزایش سیکل های فرآیند ARB افزایش یافته است. همان گونه که در شکل ۶ مشاهده می شود، در پاس های ابتدایی فرآیند ARB که شامل نرخ های کار سختی بالاتر می باشد افزایش استحکام از کار سختی ماده سرچشمه می گیرد. هم چنین، روشن است که کاهش اندازه دانه سبب افزایش استحکام نهایی ماده می شود. مطابق شکل ۶ مقایسه بین استحکام کششی کامپوزیت های Cu/MoSi_2 و مس خالص ARB شده مشاهده می شود. حضور ذرات تقویت کننده MoSi_2 تاثیر بزرگی در افزایش استحکام داشته است. افزون بر این، بر اساس شکل ۷ بطور کلی می توان مشاهده کرد که حضور ذرات تقویت کننده MoSi_2 باعث افزایش تردی و در پی آن کاهش در نرخ کرنش می گردد. بر اساس شکل ۶ با افزایش تعداد سیکل های نورده، استحکام کششی برای هر دو نمونه کامپوزیت افزایش می یابد. بر اساس نتایج پژوهش های گزارش شده به وسیله سایتو^۲ افزایش استحکام در فرآیند نور تجمعی شامل دو مکانیزم اصلی استحکام بخشی می باشد: (الف) افزایش کرنش سختی ناشی از تابه جایی ها و (ب) بهبود و اصلاح اندازه دانه [۵]. بطور کلی با توجه به شکل ۷ می توان دریافت که افزایش طول کامپوزیت در طی مراحل ARB کمتر از مس خالص ARB شده می باشد که این می تواند به دلیل حضور ذرات MoSi_2 و نحوه پراکندگی آن در ماتریس مس باشد. هم چنین، با افزایش تعداد سیکل های فرآیند ARB نقش ذرات تقویت کننده

تماس فلز-فلز و همچنین بدليل تجمع و آگلومره شدن ذرات اثر منفی بر کیفیت و استحکام جوش دارد. همان گونه که در شکل نیز قابل مشاهده است با افزایش سیکل های نوره ضخامت لایه های شامل ذرات MoSi_2 کاهش یافته و در نتیجه، ذرات در زمینه مسی پخش شده اند. هم چنین، همان گونه که از شکل برداشت می شود، با افزایش سیکل های ARB شاهد پخش شدن یکنواخت تر ذرات MoSi_2 در زمینه مس می باشیم. روشن است که با پیشرفت فرآیند ARB تعداد لایه ها به گونه ای مداوم افزایش یافته که سبب افزایش همگنی توزیع در جهت عمود ورق می شود. مطلب دیگر که باید مد نظر داشت، بحث وجود یک تنش آستانه ای لازم جهت برقراری پیوند بین لایه های فلزی است. اگر مقدار تنش بکار رفته از مقدار تنش آستانه ای کمتر باشد، سطوح بکر فلز نمی توانند پیوندی قوی با هم برقرار کنند. این تنش آستانه ای با حضور ذرات افزایش می یابد که بر مبنای فرضیه سد انرژی^۱ است و پیشنهاد می کند که باید بر یک سد انرژی پیش از این که دو فلز با هم اتصال برقرار کنند، غلبه کرد. بالاتر از این مقدار استحکام پیوند ایجاد شده به سرعت افزایش می یابد و کمتر از این مقدار نیز آلودگی های موجود در سطح، تماس دو فلز بکر با هم را به تاخیر می اندازند و سبب کاهش استحکام پیوند ایجاد شده می شود[۹].

مسئله ای که وجود دارد این است که نخست، در حالت حضور ذرات، تنش آستانه ای بیشتری برای غلبه بر لایه اکسیدی سطح نیاز داریم تا مقابله فلزات بکر زیر سطحی را با هم داشته باشیم و دوم، اگر چه ذرات به شکسته شدن لایه اکسیدی در سطح کمک کرده اند، اما از طرفی نیز خود به عنوان مانع در جهت تماس سطوح بکر فلزات با هم دیگر و برقراری پیوند می باشد.

شایان ذکر است که بمنظور دستیابی به ویژگی های بهینه یک کامپوزیت، بویژه بهترین ترکیب استحکام بالا و شکل پذیری مناسب، تقویت کننده ای ریز و کسر حجمی بالایی از ذرات لازم است، اما بکارگیری این دو با هم با مشکلاتی همراه است زیرا در کامپوزیت ها با ذرات ریز، تمایل به توزیع نا یکنواخت ذرات و ایجاد خوش ها و

²-Saito

^۱-energy barrier theory

کننده MoSi_2 به صورت یکنواختی در ماتریس مس پراکنده شده اند لذا، تاثیر حضور ذرات MoSi_2 آشکار شده و افزایش مقاومت الکتریکی را سبب می‌شود. همچنین، تغییرات کرنش اعمالی و در نتیجه دانسیته نابهجهایی و مرز مشترک‌های موجود در ساختار و یا سطوح مشترک بین لایه‌ای بدلیل کوتاه کردن حرکت مسیر آزاد الکترون‌ها از دیگر عوامل تاثیرگذار بر مقاومت الکتریکی می‌باشد [۱۲]. بنابراین، می‌توان نتیجه گرفت که در مجموع، افزایش درصد حجمی حضور ذرات تقویت کننده MoSi_2 و افزایش سیکل‌های فرایند ARB به دلیل افزایش دانسیته عوامل منحرف کننده الکtronون باعث افزایش مقاومت الکتریکی می‌شود.

نتیجه گیری

در این پژوهش از فرایند نورد تجمعی به گونه موقیت آمیز در تولید کامپوزیت Cu/MoSi_2 استفاده گردید. تا سیکل پنجم نورد اتصالی تجمعی نمونه‌ها دارای شکل بدپری مناسب و قطعاتی بدون عیب مکروسکوپی بdst آمد. همچنین، نتایج نشان دادند که:

۱- با افزایش سیکل‌های فرایند ARB، یکنواختی توزیع ذرات و همچنین، کیفیت اتصال میان ذرات MoSi_2 در ماتریس مس بهبود یافته است. کامپوزیت تولید شده در مرحله پنجم نشانگر توزیع یکنواخت و پیوند قوی میان ذرات تقویت کننده MoSi_2 و ماتریس مس می‌باشد.

۲- استحکام کششی کامپوزیت با افزایش سیکل‌های فرایند ARB یافته است. همچنین، شاهد کاهش کرنش و داکتیلیتی و افزایش تردی در طی مراحل ARB می‌باشیم.

۳- با افزایش سیکل‌های فرایند ARB، شاهد افزایش چشمگیری در سختی کامپوزیت Cu/MoSi_2 هستیم به گونه‌ای که میکرو سختی برای هر دو نمونه به ترتیب از مقادیر اولیه ۶۱ به ۱۵۸ و ۱۶۶ مگا پاسکال در پاس پنجم رسیده است.

۴- می‌توان نتیجه گرفت که در مجموع، افزایش درصد حجمی حضور ذرات تقویت کننده MoSi_2 و افزایش سیکل‌های فرایند ARB بدلیل افزایش دانسیته عوامل

MoSi_2 بدليل پراکنده یکنواخت افزایش می‌باید که این تغییرات در مجموع سبب کاهش داکتیلیتی در کامپوزیت یاد شده می‌گردد.

میکروسختی

برای اندازه‌گیری سختی نمونه‌ها از دستگاه سختی سنج ویکرز با بار ۲۵ گرم و زمان توقف ۱۰ ثانیه استفاده گردید. صفحه RD-ND نمونه‌ها در سیکل‌های گوناگون فرآیند ARB مورد سختی‌سنجی قرار گرفت. همان گونه که در شکل ۸ مشاهده می‌شود و همچنان که انتظار می‌رود با افزایش پاس‌های فرایند سختی نمونه‌ها افزایش می‌یابد و نرخ افزایش سختی در پاس‌های اولیه بیشتر از پاس‌های بعدی است زیرا عدمه تجمع نابهجهای ها و کار سختی در پاس‌های اولیه رخ می‌دهد [۵]. شکل ۸ افزایش میکروسختی با افزایش تعداد پاس‌های فرایند را نشان می‌دهد. میکرو سختی برای هر دو نمونه به ترتیب از مقادیر اولیه ۶۱ به ۱۵۸ و ۱۶۶ مگا پاسکال برای کامپوزیت Cu/MoSi با درصد های گوناگون حجمی افزایش می‌یابد. مشاهده می‌شود که پس از نورد اتصالی اولیه مس و ذرات تقویت کننده، افزایش قابل ملاحظه ای در سختی کامپوزیت‌ها رخ می‌دهد. افزایش سریع سختی با کاهش کرنش‌ها می‌تواند به سخت شدن کرنشی مربوط باشد [۹]. رفتار سخت شدن نشانگر اشباعی از کرنش‌های بزرگ در مواد فوق العاده ریزدانه که با روش‌های تغییر شکل شدید پلاستیک ایجاد شده‌اند می‌باشد [۱۱، ۱۰].

مقایسه ای بین مقاومت الکتریکی کامپوزیت Cu/MoSi_2 و مس خالص ARB شده

تغییرات مقاومت الکتریکی اندازه گیری شده در مراحل گوناگون ARB در دو گروه کامپوزیت Cu/MoSi_2 و مس خالص ARB شده در شکل ۹ مشاهده می‌شود. بر اساس شکل در مراحل اولیه مقاومت الکتریکی هر دو گروه به مس خالص نزدیک است. لایه بیرونی همه نمونه‌ها فلز مس می‌باشد که ضخامت آن در مراحل ابتدایی زیادتر است. بنابراین، بیشتر الکترون‌ها از فلز مس سطح عبور کرده و تاثیر سایر لایه‌ها ناچیز می‌باشد، ولی با ادامه فرایند ARB لایه‌های مس نازک‌تر شده و ذرات تقویت

ذرات درماتریس باشد. همچنین، با استفاده از این روش می توان خواص مکانیکی و فیزیکی کامپوزیت های مورد نظر را بهبود بخشید.

منحرف کننده الکترون باعث افزایش مقاومت الکتریکی می شود.

بررسی این نتایج می تواند ثابت کند که فرایند نورد اتصالی تجمعی می تواند فرایندی بسیار مفید و تاثیرگذار در تولید مواد ریز دانه با استحکام بالا و توزیع و یکنواختی

References

- ۱- علی یزدانی، "تولید کامپوزیت های نانوساختار آلومینیوم-کاربید بور به روش اتصال تجمعی نورد" ،نشریه مواد نوین ، دوره اول، شماره ۳، ص ۲۲-۲۳، بهار ۱۳۹۰.
- 2- S. C. Tjong, and H. Chen, "Nanocrystalline Materials and Coatings", Materials Science and Engineering, Vol. 45, pp. 1-88, 2004.
- 3- B.A. Movchan, and FD. Lemkey," Mechanical Properties of Fine-Crystalline Two-Phasematerials", Mater Sci Eng A; 224:136-45, 1997.
- 4- Y. S. Kim, S. H. Kang, and D. H. Shin," Effect of Rolling Direction on the Microstructure and Mechanical Properties of Accumulative Roll Bonding (ARB) Processed Commercially Pure 1050 Aluminum Alloy", Materials Science Forum, Vols. 503-504,pp.681-686, 2006.
- 5- N. Tsuji, Y. Ito, Y. Saito, and Y. Minamino,"Strength and Ductility of Ultra-Fine Grained Aluminum and Iron Produced by ARB and Annealing", Scripta Mater ; 47:893-9, 2002.
- 6- K. M. Shorowordi, A. S. M. A. Haseeb, and J. P. Celis, "Tribo-surface Characteristics of Al-B4C and Al-SiC Composites Worn under Different Contact Pressures", Wear, Vol. 261, pp. 634-641, 2006.
- 7- J. Mc. Keown, A. Misra, H. Kung, RG. Hoagland, and M. Nastasi." Microstructures and Strength of Nano Scale Cu-Ag multilayers", Scripta Mater; 46:593-8, 2002.
- 8- H. Sekine and R. Chen. "A Combined Microstructure Strengthening Analysis of SiCp/Al Metal Matrix Composites", Composites, Vol.26, pp183-8, 1995.
- 9- M. Alizadeh, "Comparison of Nanostructured Al/B4C Composite Produced by ARB and Al/B4C Composite produced by RRB Process", Materials Science and Engineering A 528, 578-582, 2010.
- 10- Y. Estrin, RJ. Helming, SC. Baik, HS. Kim, and HG. Brokmeier, "Microstructure and Texture Development in Copper and aluminum Under ECAP", Ultrafine Grained Materials III. Warrendale, PA: TMS; 2004.
- 11- Huang X, Kamikawa N, and Hansen N. Strengthening Mechanisms in Nanostructured Aluminum. Mater Sci Eng A; 483:102-4, 2008.
- 12- L. Ghalandari and M. M. Moshksar, "High Strength and High Conductive Cu/Ag Multilayer Produced by ARB", Journal of Alloys and Compounds, Vol. 506, pp. 172-178, 2010.

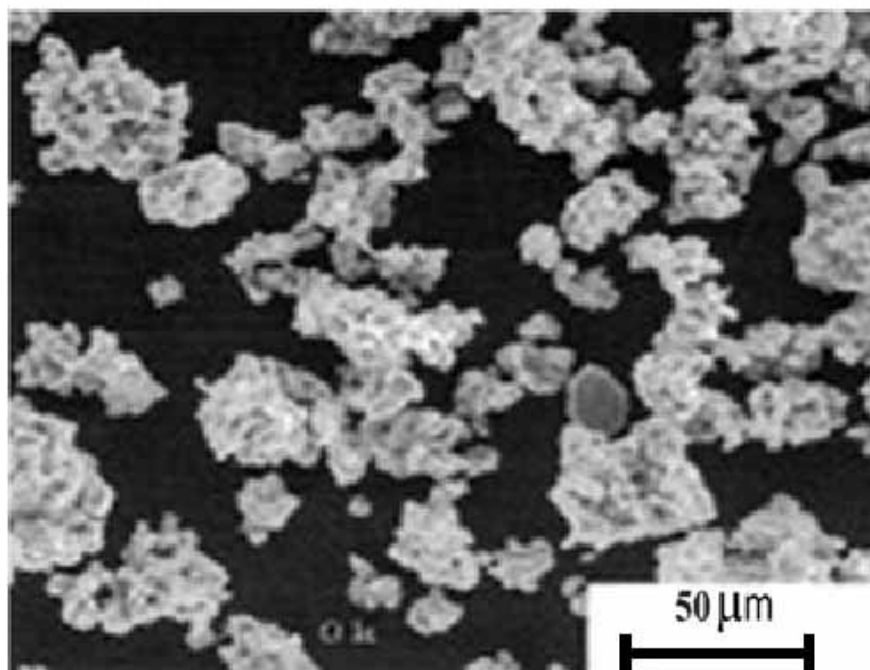
پیوستها

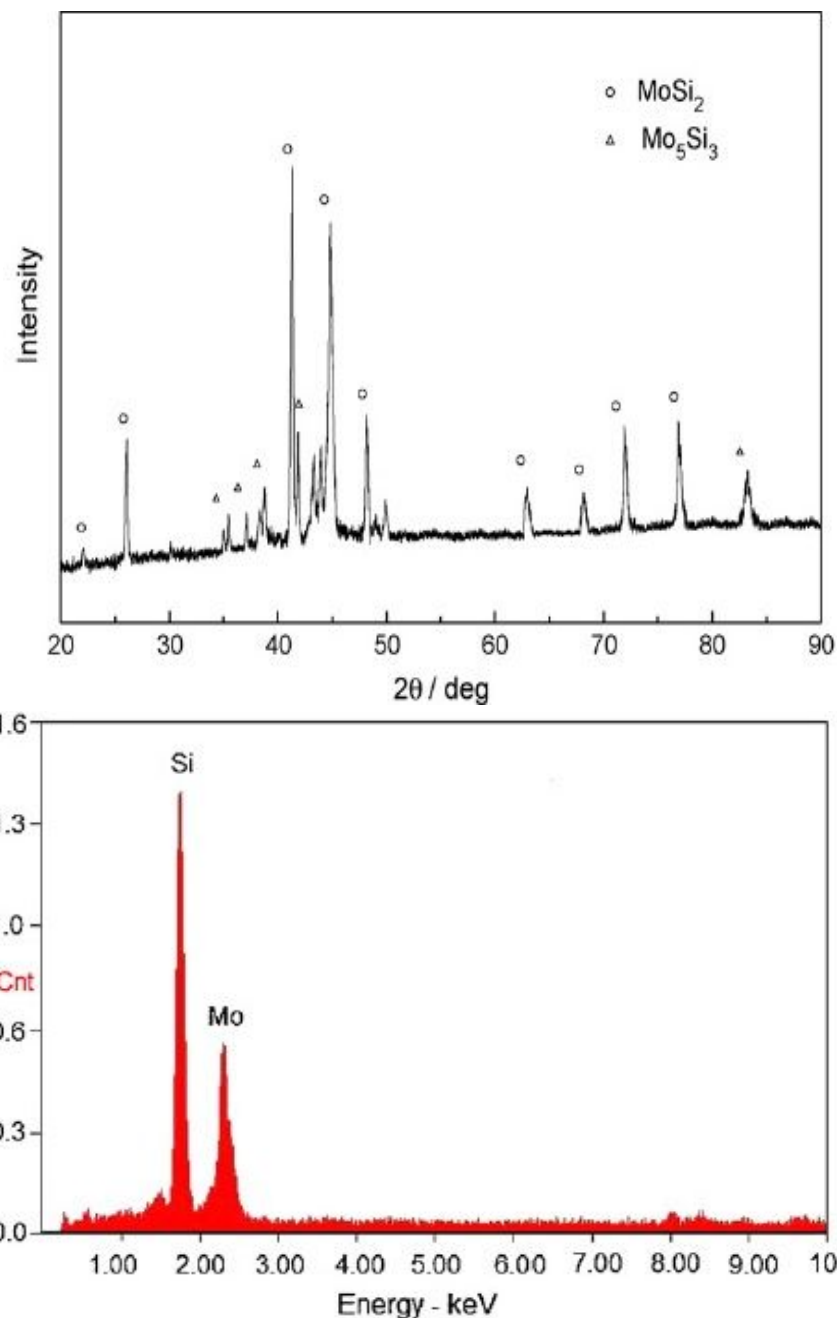
جدول ۱- مشخصات ورق های اولیه مورد استفاده.

جنس ورق	ترکیب شیمیایی (درصد حجمی)	ابعاد ورق
مس خالص تجاری	۹۸,۴Cu, ۰,۶Zn, ۰,۱۸Fe, ۰,۵۲Pb, ۰,۴۸Co, ۰,۰۱۹Sn, ۰,۰۱۲Cd, ۰,۰۹Cr	۱۲۰×۵۰×۱ mm

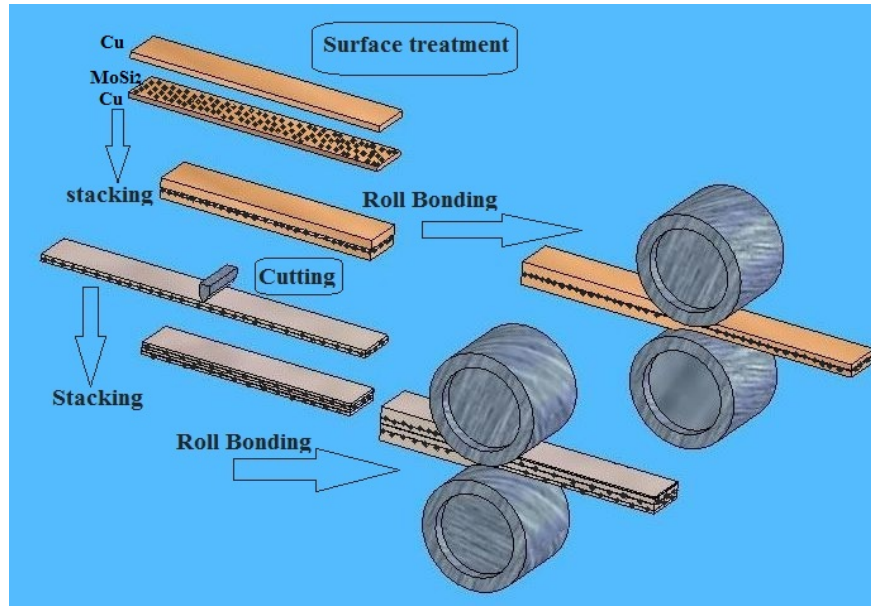
جدول ۲- خواص مکانیکی فلز مس بکار رفته در پژوهش.

فلز	افزایش طول (%)	سختی (HV)	استحکام تسلیم (Mpa)
مس	۳۲/۸	۶۲	۸۷/۵

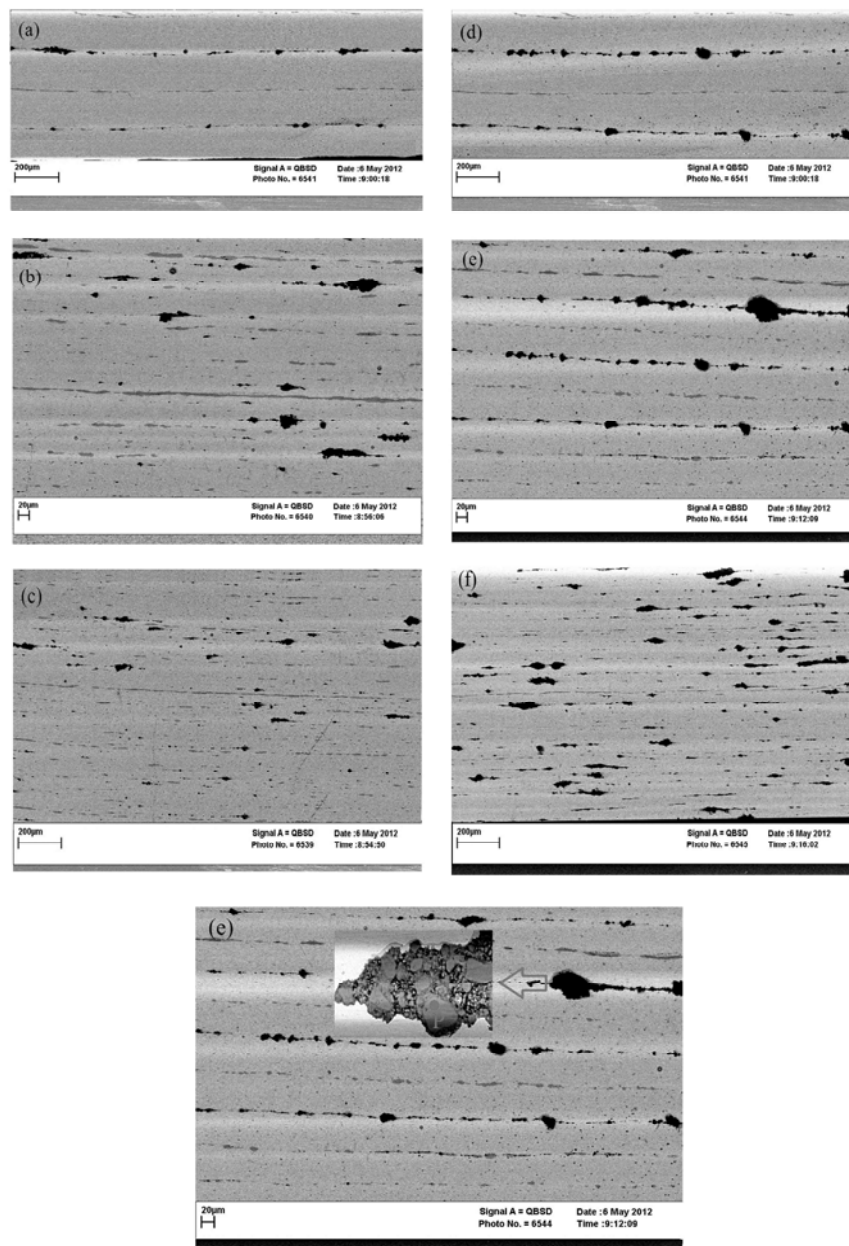
شکل ۱- تصویر میکروسکوپ TEM از نانوذرات MoSi_2



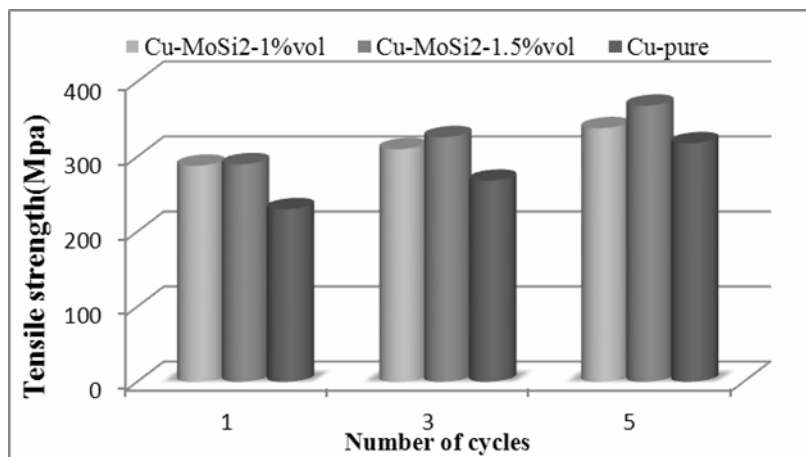
شکل ۲- تصاویر XRD از پودر MoSi_2



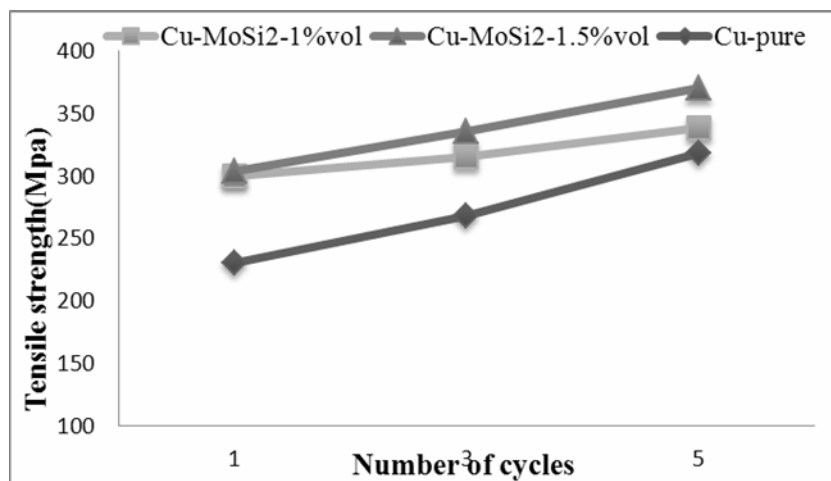
شکل ۳- شماتیکی از مراحل گوناگون فرایند اتصال نورد تجمعی.



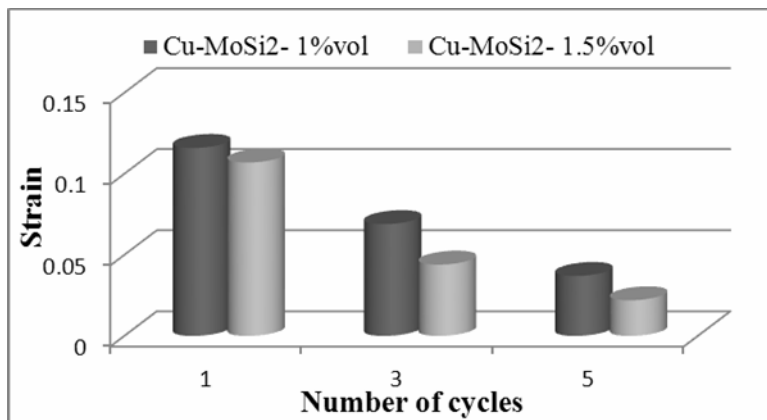
شکل ۴- تصاویر میکروسکوپ SEM مراحل (a) پاس نخست، (b) پاس سوم، (c) پاس پنجم با ۱٪ حجمی پودر MoSi_2 پاس نخست، (d) پاس سوم، (e) پاس پنجم با ۱.۵٪ حجمی پودر MoSi_2 (e) بزرگنمایی ذرات MoSi_2 در کامپوزیت.



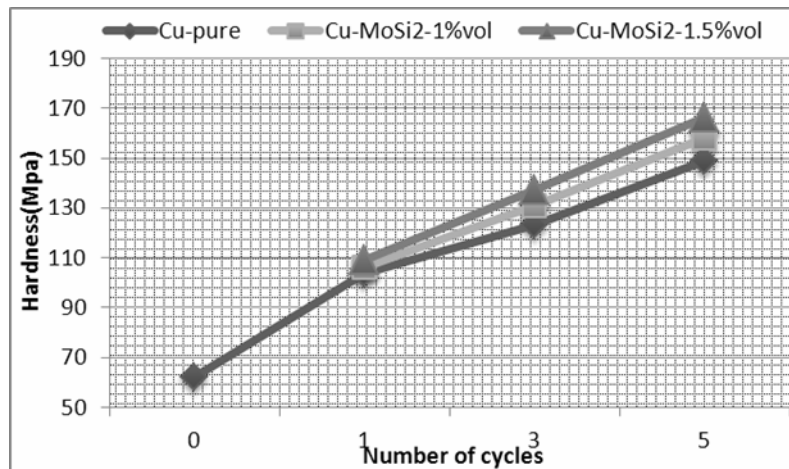
شکل ۵- نتایج بدست آمده از منحنی تنش- کرنش در سیکل های گوناگون فرآیند ARB



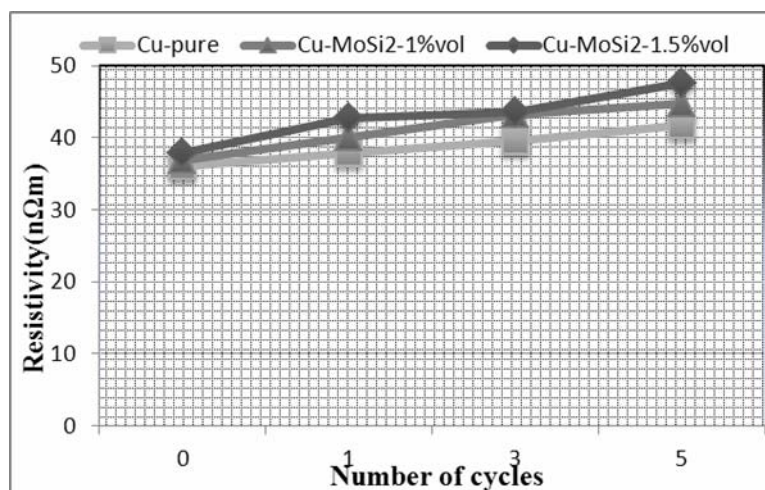
شکل ۶- مقایسه بین استحکام کششی کامپوزیت های Cu/MoSi₂ و مس خالص ARB شده



شکل ۷- مقایسه کرنش و افزایش طول کامپوزیت Cu/MoSi₂ با درصدهای حجمی ۱٪ و ۱.۵٪



شکل ۸- مقایسه میکروسختی کامپوزیت های Cu/MoSi_2 و مس خالص ARB شده



شکل ۹- تغییرات مقاومت الکتریکی در طی فرایند ARB